

Реализация линейно-интегрируемых геодезических потоков бильярдами с проскальзыванием

В.В. Ведюшкина, В.Н. Завъялов, Москва

Работа выполнена при поддержке гранта РФФИ (проект № 20-71-00155) в МГУ имени М.В.Ломоносова

Изучению геодезических потоков на двумерных замкнутых поверхностях, обладающих полиномиальным по компонентам импульса дополнительным интегралом, посвящено большое количество работ (достаточно подробно история вопроса освещена в [1, гл. 2-3 т.2]). Отметим важный результат В.В.Козлова [2, 3] о несуществовании (в аналитической категории) дополнительных интегралов у геодезического потока на компактном римановом 2-многообразии, если многообразие имеет род 2 и выше. Отметим [1, комм. 2 к теореме 2.1, т.2], что условие аналитичности многообразия избыточно, если речь идет о полиномиальной интегрируемости, т.е. ведется поиск полиномиального по компонентам импульса интеграла (см. [4]).

В случае интегралов степени 1 и 2 (т.е. линейно или квадратично интегрируемых потоков) был полностью решен ряд задач о классификации таких потоков. Напомним, что такие потоки можно классифицировать с точки зрения канонического вида метрики, топологии слоения Лиувилля (лиувиллевой эквивалентности), траекторной и геодезической эквивалентностей [5]. В случае интегралов более высоких чем 2 степеней вопрос остается открыт (имеются примеры геодезических потоков на 2-многообразиях с интегралом степени 3 или 4.).

Важные результаты В.Н. Колокольцова [4] были затем эти результаты были развиты и дополнены в работах И.К. Бабенко, Н.Н. Нехорошева, В.С. Матвеева (см. [1], а также [4], [6]). В частности, В.С. Матвееву удалось получить топологическую классификацию линейно интегрируемых геодезических потоков на неориентируемых поверхностях путем изучения инволюции, действующей на фазовом пространстве такого потока на соответствующей ориентируемой поверхности. В настоящей работе мы промоделируем линейно-интегрируемые геодезические потоки на проективной плоскости и бутылке Клейна с помощью бильярдов из недавно введенного А.Т.Фоменко [7] (см. также [8]) класса бильярдов с проскальзыванием (и добавления проскальзывания к топологическим бильярдам, введенным В.В.Ведюшкиной в [10]).

Стандартные бильярдные системы описывают движение точки внутри области с естественным отражением на границе, допускающей углы излома в точках равными $\frac{\pi}{2}$. Фиксируем координаты (x, y) на плоскости \mathbb{R}^2 . Рассмотрим семейство концентрических окружностей с центром в начале координат

$$x^2 + y^2 = r^2.$$

Бильярд ограниченный концентрическими окружностями является интегрируемым, поскольку вдоль траектории сохраняется угол φ между отрезками траектории и граничной окружностью. Далее будем работать с областями, которые ограничены окружностями.

Пусть F - изометрия границы плоской окружности, переводящая точку x в диаметрально противоположную ей точку y . С точки зрения самой окружности это означает поворот радиус-вектора для точки x (исходящего из центра окружности) на угол π . Бильярд в круге с введенной изометрией на окружности будем называть бильярдом с проскальзыванием.

Как уже было доказано в статье [8], данная бильярдная система будет также интегрируема с сохранением дополнительного интеграла, так как поворот на угол π сохраняет касание

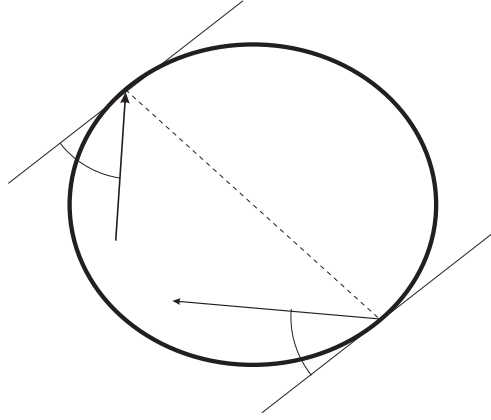


Рис. 1: Слева показано движение материальной точки в диске с проскальзыванием.

траектории концентрической окружности, отвечающей данному значению интеграла. Также в статье были рассмотрены случаи диска, который моделирует склейку двух полноторий в линзовое пространство $L_{4,1}$ на изоэнергетическом уровне, для случая проективной плоскости, и двух колец, склеенных по внутренней окружности для бутылки Клейна.

Определение 1 Определим склейку двух бильярдов вдоль общей границы. Пусть два бильярда имеют общую границу u на плоскости располагаются относительно этой границы с одной стороны. Склеим области бильярдов вдоль этой общей границы. Материальная точка при движении по одному листу бильярда после удара о границу склейки продолжит двигаться в области другого бильярда. В случае если склеиваемые бильярды – плоские бильярдные области, а результат склейки – ориентируемое многообразие, то это определение склейки топологического бильярда, введенное В.В. Ведюшкиной.

Определение 2 Рассмотрим области на плоскости, ограниченные концентрическими окружностями. Область (u и соответствующий ей бильярд), гомеоморфную диску обозначим через D . Радиус внешней окружности будем считать всегда равным единице. Рассмотрим область, ограниченную двумя концентрическими окружностями (назовем её область C), причем меньшая окружность задается уравнением $x^2 + y^2 = \lambda$, $0 < \lambda \leq 1$. Если на большей границе области C задано проскальзывание, то такой бильярд назовем «инволютивным A_λ », а если на меньшей (невыпуклой по отношению к бильярду) – “ A_λ^* ”. Область C без проскальзывания назовем промежуточной B_λ . Сами области показаны на рисунке 2, символами a и b показано проскальзывание.

Утверждение 1 Пусть на бутылке Клейна задана (L, g) -метрика $g(y)(dx^2 + dy^2)$, где функция g не постоянна. Тогда слоение Лиувилля геодезического потока на изоэнергетической поверхности Q задается молекулой на рис. 3 справа. И пусть на проективной плоскости задана метрика $ds^2 = d\theta^2 + f(\theta)d\varphi^2$. Отвечающий геодезическому потоку молекула \widetilde{W} для случая проективной плоскости показана на рис. 3 слева. В данных графах присутствуют только атомы B_n , B_n^* и B_n^{**} . При этом метки в графах нужно поставить следующим образом.

- В обоих графах $\widetilde{W}(f)$ и $\widetilde{W}(g)$ метки таковы. На ребрах между седловыми атомами r -метки равны бесконечности. Между седловыми атомами и атомами A метки r равны нулю, за исключением тех случаев, когда атом A (т.е. локальный максимум функции) отвечает неподвижной точке инволюции. В этом случае r -метка равна $\frac{1}{2}$.

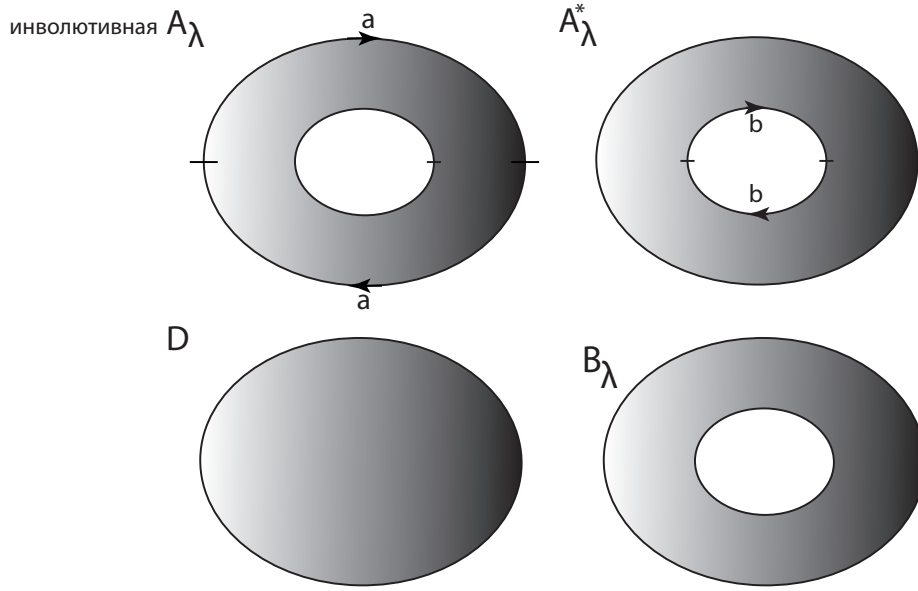


Рис. 2: Слева: сверху показана область инволютивного A_λ , снизу D . Справа: сверху A_λ^* , а снизу промежуточная область B_λ .

- На единственном центральном ребре, соединяющем два экземпляра молекулы $\widetilde{W}(f)$ или $\widetilde{W}(g)$, метка r равна бесконечности, а метка ε равна -1 . Здесь имеется ровно одна семья (совпадающая со всей молекулой \widetilde{W} , из которой выброшены все концевые атомы A). Метка n на этой семье равна -2 .
- Количество звезд и меток $\frac{1}{2}$ в сумме равны двум для геодезического потока на проективной плоскости и четырем для бутылки Клейна.

Теорема 1 Любой геодезический поток на двумерном неориентируемом многообразии (бутылке Клейна или проективной плоскости), обладающий линейным по импульсам дополнительным интегралом, лувиллево эквивалентен бильярду с проскальзыванием, состоящему из плоских бильяродов, ограниченных концентрическими окружностями. При этом линейный интеграл такого потока сводится к каноническому на бильярде, которым является угол между траекторией и границей любого бильярдного стола. Стоит заметить, что данная лувиллева эквивалентность является кусочно-гладкой.

Алгоритмическое построение топологического бильярда с проскальзыванием для случая проективной плоскости.

Обозначим через R следующий бильярд, полученный последовательной склейкой одной области с проскальзыванием (A_{λ_0} или $A_{\lambda_0}^*$), области D и некоторого числа n промежуточных областей B_{λ_i} , $i \in \{1..n\}$.

Проведем анализ траекторий такого бильярда. Значению интеграла $\varphi = 0$ сопоставим движение материальной точки по дугам окружностей радиуса 1, т.е. по выпуклым дугам склейки бильяродов, входящих в состав бильярда R . Пусть при этом траектории обходят начало координат по часовой стрелке. Значениям интеграла $0 < \varphi < \frac{\pi}{2}$ соответствует движение по часовой стрелке. Значениям интеграла $\frac{\pi}{2} < \varphi \leq \pi$ соответствует движение против часовой стрелки, причем значению $\varphi = \pi$ — движение по дугам окружностей радиуса 1. Наконец, траектории на

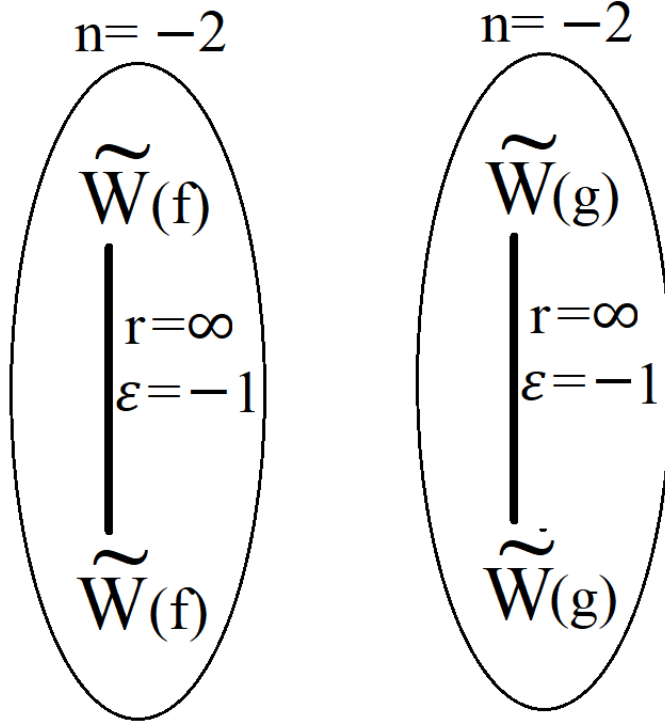


Рис. 3: Молекулы геодезических потоков на проективной плоскости (слева) и бутылке Клейна (справа).

уровне интеграла $\varphi = \frac{\pi}{2}$ состоит из отрезков прямых, проходящих через начало координат. При этом ясно, что топологическое описание совместных уровней интеграла при значении $\varphi < \frac{\pi}{2}$ и $\varphi > \frac{\pi}{2}$ совпадает: при обращении траектории траектории первого типа переходят в траектории второго.

Построим по бильярду R кусочно-линейную функцию \hat{f} . Рассмотрим точки с координатами (i, λ_i) , где числа λ_i это радиусы меньших граничных окружностей областей с проскальзыванием и промежуточных областей B_{λ_i} . Дополним их точкой $(n + 1, 0)$. Назовем эти точки минимальными. Рассмотрим точки с координатами $(i/2, 1)$, расположенные между минимальными точками. Соединим последовательно точки в ломаную, так чтобы минимальные точки были бы минимумами возникающего графика функции. Добавим к этой ломаной её отражение вдоль оси Oy . Функцию, график которого есть полученная симметричная ломаная, обозначим через \hat{f} .

График этой функции фактически является профилем бильярда, который произвольная прямая с центром в начале координат высекает в бильярдах, входящих в бильярд R . Более того, по такому графику функции можно однозначно восстановить бильярд R .

Рассмотрим интегрируемый геодезический поток на проективной плоскости. Тогда он однозначно задается гладкой четной функцией f , которая обращается в нуль на концах интервала – своей области определения – и имеет некоторые условия сглаживания в концах. Рассмотрим график этой функции и заменим его ломаной, соединив точки минимума и максимума. Далее сохраняя взаимное расположение минимумов и максимумов изменим график так, чтобы все минимумы оказались бы в целых ненулевых точках, максимумы – в половинных вида $i/2$, и значения в максимумах стали бы равными 1. В результате мы получим функцию \hat{f} , по которой

можно построить бильярд R с проскальзыванием. Это и будет бильярд, изоэнергетическая поверхность которого Лиувиллево эквивалента исходному геодезическому потоку. Для этого осталось показать, что инвариант Фоменко-Цишанга, вычисленный по бильярду R совпадает с инвариантом, изображенным на рисунке 3 с заменой f на \hat{f} .

Предложение 1 *Бильярдный стол R , построенный по данной конструкции, после отождествления всех стрелок на границах инволютивных областей гомеоморфен проективной плоскости.*

Доказательство: Промежуточными областями являются кольца, каждое из которых гомеоморфно цилиндру. Инволютивные области A_λ и A_λ^* после отождествления обозначающих проскальзывание стрелок на границе (см. рис. 2), гомеоморфны лентам Мебиуса. Тогда полученный бильярдный стол R гомеоморфен цилиндру (из промежуточных областей B_λ), вдоль одной граничной окружности которого приклеена лента Мебиуса, а с другой – с диск D . Очевидно, что тогда бильярдный стол R гомеоморфен проективной плоскости. Утверждение доказано.

Доказательство теоремы 1 для проективной плоскости.

Шаг 1. Вычисление грубой молекулы.

Рассмотрим график функции \hat{f} . Расслоим область под графиком функции на отрезки. Стянем каждый отрезок в точку. Сопоставим вершинам полученного графа следующие атомы. Точкам прообразы которых были максимумы функции \hat{f} сопоставим атомы A . Всем остальным вершинам – атомы B_k , где k – это количество минимумов, через которые проходит соответствующий горизонтальный отрезок (см. рис. 4 для произвольной положительной функции f). В нашем случае полученный граф $W(\hat{f})$ является симметричным, так как функция f была симметричной. Перейдем теперь к графу $\widetilde{W}(\hat{f})$ профакторизовав полученную молекулу по имеющейся симметрии. Если при этом ось симметрии проходит через атом B_{2k+1} (т.е. он соответствует минимуму, лежащему на оси Oy), то после симметрии такой атом перейдем в атом B_k^* . Это построение совпадает с построением графа $\widetilde{W}(f)$, для геодезического потока на проективной плоскости, характеризующегося функцией f .

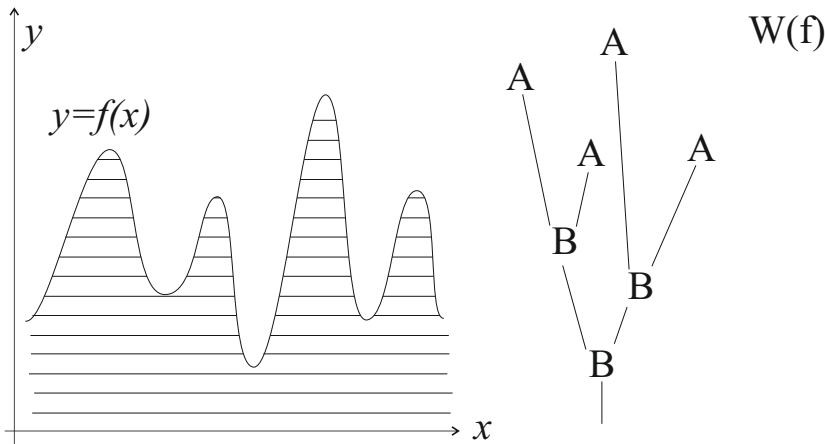


Рис. 4: Построение графа $W(f)$.

Фиксируем уровень интеграла $\varphi_0 < \frac{\pi}{2}$. Ему будет соответствовать некоторая горизонтальная прямая $y = c < 1$, где c – радиус окружности, которой на данном уровне интеграла касаются траектории. Рассмотрим соответствующую этому значению интеграла поверхность уровня и спроектируем её на бильярд. Проекция поверхности уровня может быть получена удалением

из каждого биллиарда в составе биллиарда R внутренности окружности радиуса c . В результате такого удаления биллиард R распадается на несколько компонент связности. Все они (кроме быть может одной) гомеоморфны цилиндрам, полученными склейками из областей типа C , которые остаются при удалении внутренности окружности из областей D , B_λ и A_λ^* (в том случае если $\lambda < c$). И не более чем одна – гомеоморфна листу Мебиуса. Она получается при удалении внутренности окружности радиуса c из инволютивных областей A_λ или A_λ^* (в этом случае если мы должны вырезать окружность меньшего радиуса чем радиус граничных окружностей области A_λ^*).

Отметим, что число компонент связности совпадает с количеством отрезков, высекаемых прямой $y = c$ под графиком функции \hat{f} при $x > 0$ (как в этой части график функции \hat{f} есть профиль биллиарда).

Пусть прямая $y = c$ не проходит через минимумы функции \hat{f} . Тогда прообраз каждого цилиндра и каждой ленты Мебиуса есть некоторый двумерный тор (по аналогии с топологическими биллиардами и простейшими биллиардами с проскальзыванием, см. работы [8, 10]).

Пусть прямая $y = c$ проходит через несколько минимумов функции, но при этом не проходит через возможный минимума, лежащий на оси Oy . Тогда, также как и в топологических биллиардах, бифуркация на данном уровне описывает склейку нескольких торов в один вдоль критических окружностей, соответствующих невыпуклым склейкам вдоль окружностей с радиусом c . Очевидно, что эта бифуркация описывается атомом B_k , где k – это количество положительных минимумов, которых касается прямая $y = c$.

Пусть прямая $y = c$ проходит через несколько минимумов функции, в том числе через минимумом, лежащий на оси Oy (в этом случае биллиард R обязан содержать инволютивную A_λ^* , причем в этом случае $\lambda = c$). Тогда можно показать, что бифуркация описывается атомом B_k^* , где k – это количество положительных минимумов, которых касается прямая $y = c$. Отменим проскальзывание на внутренней окружности инволютивной A_c^* . Тогда соответствующая бифуркация описывается атомом B_k . На особом слое атома B_k выделим особую окружность – прообраз внутренней граничной окружности области A_c^* . Она одна, т.к. на особом слое траектории касаются окружности с радиусом c . На меньших c значениях интеграла этот прообраз будет пустым, а на больших – состоять из двух окружностей. Разрежем 3-атом по прообразу этой окружности. Затем вернем проскальзывание на этой окружности. В результате эта выделенная окружность на особом слое атома B_k склеится с собой дважды. Эта склейка будучи распространена на весь атом (т.е. и на неособые слои) приводит к образованию атома B_k^* , подобно тому как склейка тора по выделенному циклу так что цикл обходит себя дважды приводит к образованию особого слоя атома A^* .

Полученная в результате грубая молекула имеет вид $\widetilde{W}(\hat{f})$, что и требовалось показать.

Шаг 2. Вычисление меток меченой молекулы.

Предложение 2 *На ребрах между седловыми атомами метки $r = \infty$. Между седловыми атомами и атомами A метки $r = 0$, за исключением тех случаев, когда атом A отвечает неподвижной точке инволюции [1] (в построении выше это означает, что отвечающий этому атому A максимум лежит на оси Oy). В этом случае метка $r = \frac{1}{2}$.*

Доказательство:

При выборе циклов на граничных торах 3-атомов мы будем изображать их проекцией на биллиард R . Эти циклы выглядят как кривые, которые будучи оснащены подходящими векторами скорости, реализуют циклы на торах Лиувилля.

Напомним правила выбора циклов. На граничных торах атомов A в качестве однозначно выбранного цикла λ выбирается цикл, который стягивается в точку внутри полнотория A . В

качестве цикла μ выбирается любой дополняющий его до базиса. При стремлении к особому слою цикл μ переходит в критическую окружность. Это позволяет однозначно определить на нём ориентацию (он должна совпасть с ориентацией критической окружности). На граничных торах седловых атомов циклы λ выбираются гомологичными слоям расслоения Зейферта. Для атомов без звездочек это означает, что они должны быть гомологичны (и сонаправлены) критическим окружностям при достижении торами особого слоя. Циклы μ для атомов без звездочек выбираются как граничные окружности двумерного атома – трансверсального критической окружности сечения 3-атома. Если так поступить для атома со звездочкой, то может возникнуть (и как правило в реальных задачах возникает) следующая ситуация. Возникающие циклы $\hat{\mu}$ могут пересекать цикл λ в двух точках. В нашем случае атома B_k^* на одном торе цикл $\hat{\mu}$ пересечет λ в одной точке, а на другом в двух. Тогда на том торе, где пересечение есть одна точка в качестве базисного цикла μ_s берем $\hat{\mu}$, а на другом – $\frac{\hat{\mu}+\lambda}{2}$ (см. подробнее в книге А.В.Болсинова, А.Т.Фоменко [1]).

Пусть бильярд R содержит только инволютивную область A_λ . Тогда проекции циклов на бильярды, входящие в состав бильярда R изображены на рисунке 5. Зеленым изображены проекции и вектора скоростей циклов λ , красным – циклов μ . Стрелками снабжены точки кривых, которые показывают как выглядит вектор скорости в прообразе проекции тора на бильярд. Поясним выбор цикла μ на верхнем торе для атома B_k (считаем что молекула ориентирована сверху вниз). При прохождении по инволютивной A_λ в тот момент когда кривая в проекции достигает ребро склейки цикл переходит на промежуточные бильярды B_λ . Заметим ещё один факт. Если радиус окружности меньше радиусов всех внутренних окружностей инволютивной области A_λ и областей B_λ . Тогда на этом слое лежит один тор. Можно показать, что цикл μ гомологичен циклу, переходящему в движение по диаметру окружности при значении интеграла $\varphi = \frac{\pi}{2}$.

Пусть бильярд R содержит только инволютивную область A_λ^* . Тогда проекции циклов на бильярды, входящие в состав бильярда R изображены на рисунке 6. Зеленым изображены проекции и вектора скоростей циклов λ , красным – циклов μ . Стрелками снабжены точки кривых, которые показывают как выглядит вектор скорости в прообразе проекции тора на бильярд.

Для атомов B_k расположенных в молекуле ниже уровня атома со звездочкой циклы выбираются также как и в предыдущем случае. Поясним выбор циклов на граничных торах атома со звездочкой. В качестве циклов $\hat{\mu}$ можно взять прообраз отрезков прямой, проходящей через начало координат. На нижнем уровне интеграла таких циклов будет два, каждый из них пересечет цикл λ в одной точке (см. рис. 6). Для выбора цикла μ_s берем один из них. На нижнем уровне интеграла этот цикл будет пересекать циклы λ дважды. Поэтому в качестве цикла μ_s берем полусумму $\hat{\mu}$ и λ . Итоговый цикл изображен на рис. 6 в нижней строке. При этом его проекция на промежуточные бильярды B_λ выглядит также как и ранее и лежит на фиксированном радиусе семейства окружностей. Эти же пары λ и μ_s необходимо выбирать в качестве циклов на граничных торах атомов B_k расположенных выше уровня атома со звездочкой.

Вычислим метки. Если проекция тора не затрагивает инволютивную A_λ , то между седловыми атомами и атомами A матрицы склейки имеют вид $\begin{pmatrix} 0 & 1 \\ 1 & 0 \end{pmatrix}$. Метки здесь $r = 0, \varepsilon = 1$, вклада в метку n здесь нет. Если проекция затрагивает инволютивную A_λ , то между седловыми атомами и атомами A матрицы склейки имеют вид $\begin{pmatrix} -1 & 2 \\ 0 & 1 \end{pmatrix}$. Метки здесь $r = \frac{1}{2}, \varepsilon = 1$. Эта матрица вносит вклад в семью равный $[-\frac{1}{2}] = -1$. Между седловыми атомами, матрица склей-

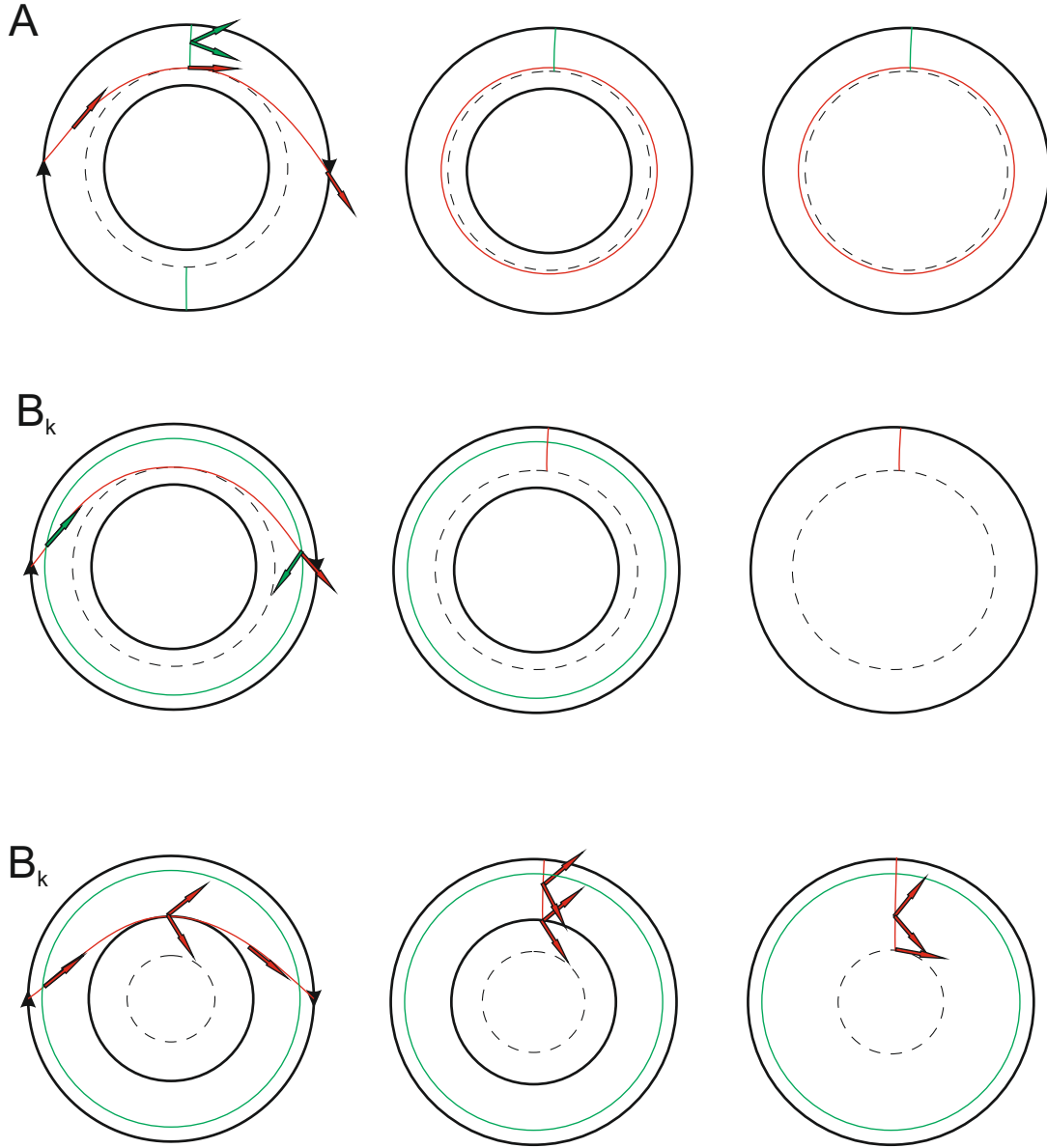


Рис. 5: Проекция циклов на граничных торах атомов A (верхняя строка) и атомов B_k на биллиарды входящие в состав биллиарда R : в первом столбце проекция на инволютивную A_λ , во втором – на промежуточный биллиард B_λ , в третьем – биллиард D . Зеленым изображены проекции и вектора скоростей циклов λ , красным – циклов μ .

ки очевидно имеет вид $\begin{pmatrix} 1 & 0 \\ 0 & -1 \end{pmatrix}$ – все циклы λ гомологичны и одинаково ориентированы. Это приводит к тому что метки $r = \infty$, $\varepsilon = 1$. Эти внутренние для семьи ребра вкладываются в метку n не дают.

Предложение 3 На единственном центральном ребре молекулы $\tilde{W}(f)$ метка $r = -\infty$, а метка $\varepsilon = -1$. Здесь имеется ровно одна семья, метка на которой равна -2 .

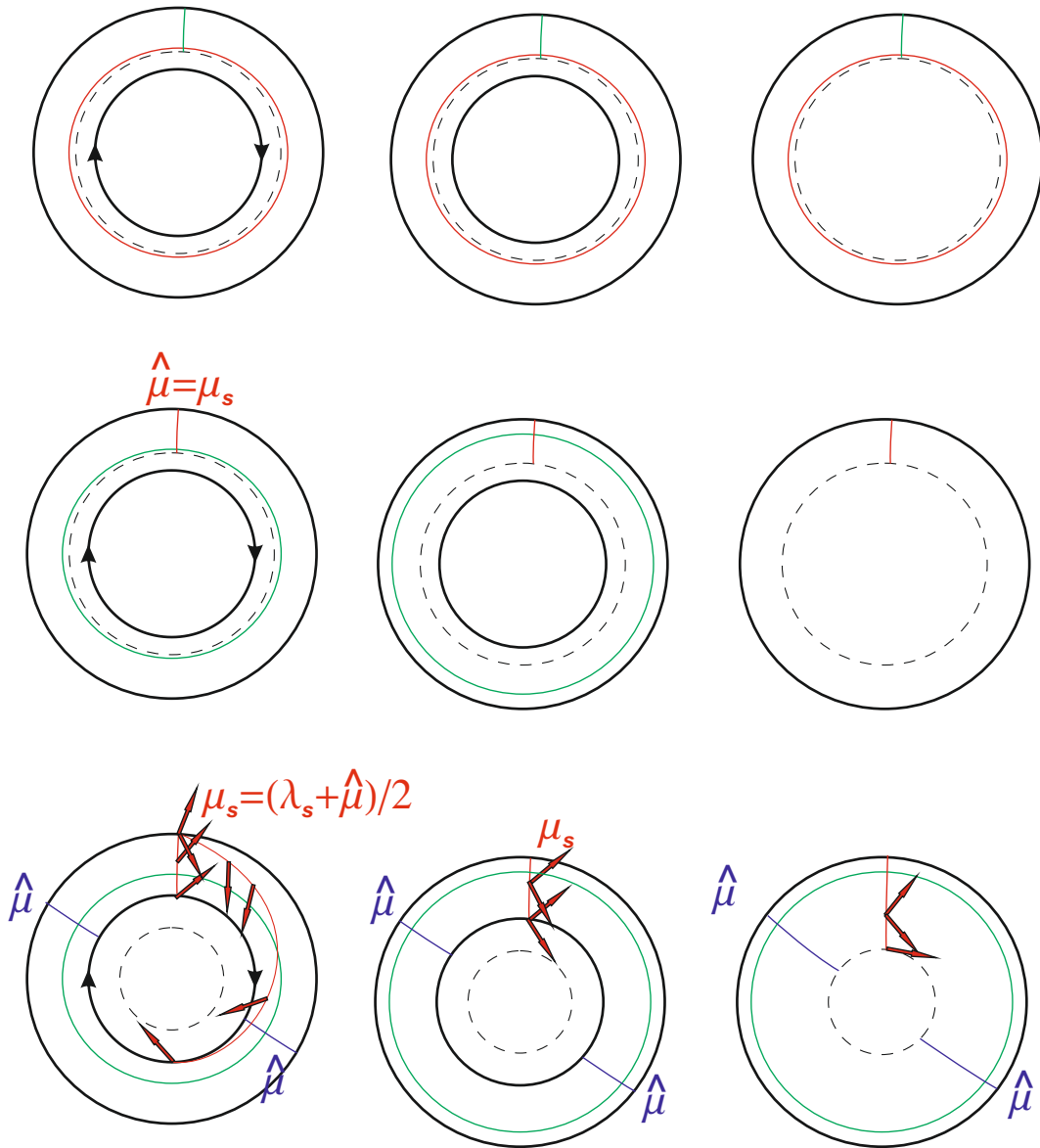


Рис. 6: Проекция циклов на граничных торах атомов A (верхняя строка) и атомов B_k^* (и тех атомов B_k что расположены при возрастании интеграла выше атома со звездочкой) на билиарды входящие в состав билиарда R : в первом столбце проекция на инволютивную A_λ^* , во втором – на промежуточный билиард B_λ , в третьем – билиард D . Зеленым изображены проекции и вектора скоростей циклов λ , красным – циклов μ , синим – вспомогательного цикла $\hat{\mu}$.

Доказательство: Мы описали движение по и против часовой стрелки, но они переходят друг в друга через значение $\varphi = \frac{\pi}{2}$. Циклы λ имеют противоположную ориентацию, а циклы μ перейдут друг в друга, тем самым, получаем матрицу склейки $\begin{pmatrix} -1 & 0 \\ 0 & 1 \end{pmatrix}$ и метки на ребре $r = \infty, \varepsilon = -1$.

Образуется одна семья, в метку n идут только значения от входящих ребер областей A_λ , значит метка $n = -2$. Утверждение доказано.

Замечание 1 *Теперь мы можем пояснить название введенных нами областей. Инволютивная A_λ названа так, потому что 3-атом A , проекция которого лежит в данной области имеет нетривиальную метку на исходящем из него ребре. Область A_λ^* , очевидно, моделирует на особом слое атом бифуркации со звездой.*

Теорема 1 для случая проективной плоскости доказана.

Доказательство теоремы для случая бутылки Клейна.

Чтобы получить конструкцию, реализующую потоки на бутылке Клейна, нужно заменить область D на одну из двух областей с проскальзыванием. Аналогично реализации потоков на проективной плоскости каждая $A_{\lambda_i}^*$ будет на значении параметра $\Lambda = \lambda_i$ добавлять к седловому атому звезду и для инволютивного A_{λ_i} на ребре, соединяющем 3-атом A с седловым атомом, метка r будет равна $\frac{1}{2}$. Все отличие состоит в том, что теперь для движения по и против часовой стрелки используем вместо одной две области с проскальзыванием, так что грубая молекула будет иметь в сумме четыре ребра с дробной меткой r и звезд в седловых атомах.

Список литературы

- [1] Болсинов А.В., Фоменко А.Т. *Интегрируемые гамильтоновы системы. Геометрия, топология, классификация.* — Ижевск: РХД, т. 1, 2. 1999.
- [2] Козлов В. В., “Топологические препятствия к интегрируемости натуральных механических систем”, Докл. АН СССР, **249:6** (1979), 1299–1302.
- [3] Козлов В. В., *Симметрии, топология и резонансы в гамильтоновой механике*, Изд-во УдГУ, Ижевск, 1995.
- [4] Kolokol'tsov V.N. *Geodesic flows on two-dimensional manifolds with an additional first integral that is polynomial in the velocities.* Mathematics of the USSR-Izvestiya, 1983, 21:2, 291–306.
- [5] Болсинов А.В., Матвеев В.С., Фоменко А.Т. “Двумерные римановы метрики с интегрируемым геодезическим потоком. Локальная и глобальная геометрия”, Матем. сб., **189:10** (1998), 5–32.
- [6] Babenko I.K., Nekhoroshev N.N. *On complex structures on two-dimensional tori admitting metrics with nontrivial quadratic integral.* Math. Notes, **58:5** (1995), 1129–1135
- [7] Фоменко А.Т., Ведюшкина В.В., “Бильярды и интегрируемость в геометрии и физике. Новый взгляд и новые возможности”, Вестн. Моск. ун-та. Сер. 1. Матем., мех., 2019, № 3, 15–25.
- [8] A.T. Fomenko, V.V. Vedyushkina and V.N. Zav'yalov. *Liouville foliations of topological billiards with slipping.* Russ. J. Math. Phys. Vol. 28, No. 1, 2021, pp. 37–55.
- [9] Vedyushkina (Fokicheva) V.V., Fomenko A.T., *Integrable geodesic flows on orientable two-dimensional surfaces and topological billiards.* Izv. Math. **83(6)**, 1137–1173 (2019).

- [10] Фокичева В.В., “Топологическая классификация бильярдов в локально плоских областях, ограниченных дугами софокусных квадрик”, Матем. сб., **206**:10 (2015), 127–176.